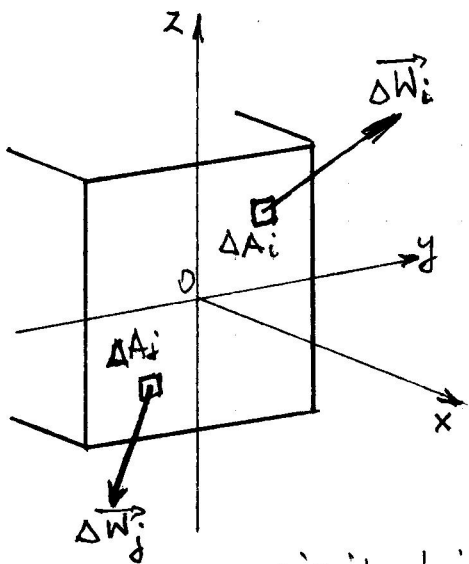


W myślownym przekroju pręta, podobnie jak to było pokazane dla dowolnej bryły, ujawnia się siły wewnętrzne. Siły te mają charakter oddziaływań powierzchniowych $\vec{s}(y, z)$ zgodnie z modelem continuum. W kolejnych zadaniach wytrzymałości pręta wyznacza się takie rozkładы.

Poprzednio, w celu zdefiniowania wektora naprężenia $\vec{s}(y, z)$ sprowadzono oddziaływanie w przekroju myślownym bryły do dyskretnego uktasłu sił $\Delta \vec{W}_i$.

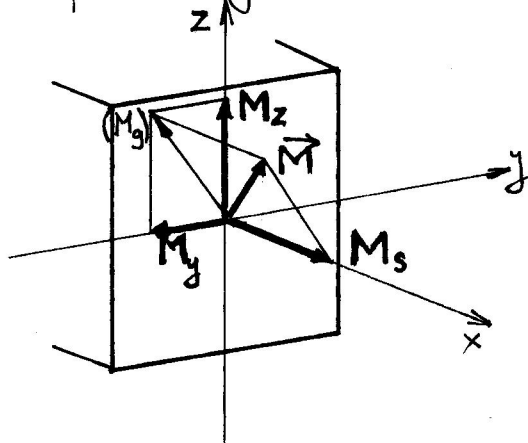
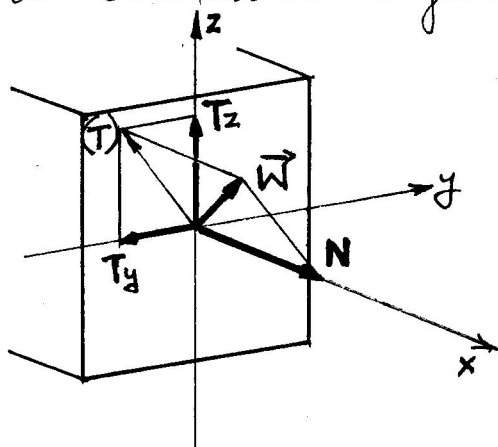


Ten sam zabieg postawiły teraz do wprowadzenia składowych wysiłku przekroju pręta (skrótnie: sił przekrojowych).

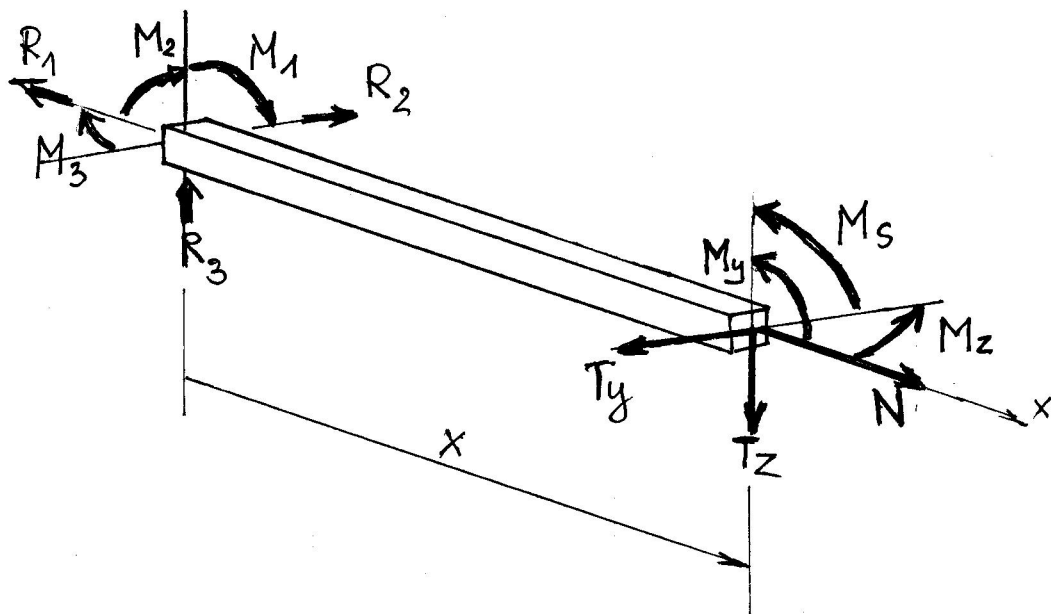
Stosując znane z Mechaniki Ogólnej redukcję przestrzennego uktasłu sił $\Delta \vec{W}_i$ do środka ciężkości przekroju 0, dostaje się tzw.

wektory główny siły \vec{W} oraz moment główny \vec{M} . (pokazane nizej na oddzielnych rysunkach).

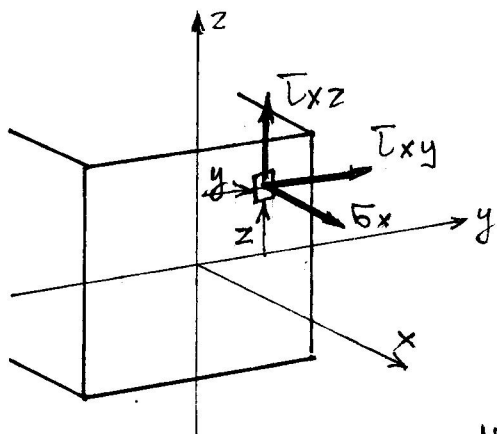
Następnie rozkłada się te dwa wektory na składowe w lokalnym układzie xyz. Wszystkie te 6 składowych to składowe wysiłku przekroju.



Z drugiej strony zespół sześciu składowych wysiłku przekroju wystarcza aby zapewnić równowagę myślowej odciętej części pręta. Odebrane jest bowiem sześć stopni swobody bryły sztywnej.



Związki między naprężeniami a siłami przekrojowy-



$$\sigma_x = \bar{\sigma}_x(y, z), \quad \bar{\tau}_{xy} = \bar{\tau}_{xy}(y, z)$$

$$\bar{\tau}_{xz} = \bar{\tau}_{xz}(y, z)$$

$$N \stackrel{\text{df}}{=} \int_A \bar{\sigma}_x dA, \quad T_y \stackrel{\text{df}}{=} \int_A \bar{\tau}_{xy} dA,$$

$$T_z \stackrel{\text{df}}{=} \int_A \bar{\tau}_{xz} dA, \quad M_s \stackrel{\text{df}}{=} \int_A (\bar{\tau}_{xz} \cdot y - \bar{\tau}_{xy} \cdot z) dA$$

$$M_y \stackrel{\text{df}}{=} \int_A \bar{\sigma}_x \cdot z dA, \quad M_z \stackrel{\text{df}}{=} \int_A \bar{\sigma}_x \cdot y dA$$